

КОМБИНАЦИОННОЕ РАССЕЯНИЕ СВЕТА СПИН-ФОТОННЫМИ МОДАМИ В МАГНИТНЫХ ДИЭЛЕКТРИКАХ

С. Б. Борисов, И. Л. Любчанский, В. Л. Соболев

В рамках микроскопической теории магнитоэкситонных поляритонов изучено комбинационное рассеяние света спин-фотонными модами (магнитными поляритонами) в магнитных диэлектриках. Вычислены соответствующий тензор рассеяния, поток энергии и поляритонный фактор, характеризующие исследуемый эффект.

1. Одним из наиболее эффективных методов изучения закона дисперсии квазичастиц в твердых телах является спектроскопия комбинационного рассеяния (КР) света. Применение методов КР позволяет получать надежную информацию о спектре элементарных возбуждений в кристаллах (фононов, магнонов и др.), в том числе о его особенностях, обусловленных взаимодействием квазичастиц с полем излучения (поляритонные эффекты). Процесс КР на поляритонах в немагнитных диэлектриках достаточно хорошо исследован (см., например, обзор [1] и имеющуюся там библиографию). Спектроскопия КР может быть использована и для изучения спин-фотонных мод (магнитных поляритонов) [2], которые наблюдались в экспериментах по прохождению электромагнитного излучения через образцы магнитоупорядоченных кристаллов FeF_2 [3] и K_2CuF_4 [4]. Теоретически возможность КР магнитными поляритонами рассматривалась в [5-7]. В этих работах сечение КР вычислено в рамках полуфеноменологического подхода; в частности, связь электрического поля электромагнитной волны (ЭМВ) с колебаниями намагниченности, соответствующими магнитному поляриту, описывалась с помощью магнитооптических тензоров.

Микроскопическое описание КР спин-фотонными модами, по нашему мнению, целесообразно проводить в рамках изложенной в [8, 9] теории магнитоэкситонных поляритонов (МЭП) — гибридных квазичастиц, в спектре которых учтено взаимодействие экситонов и магнонов с полем излучения. Целью настоящей работы является исследование особенностей КР магнитными поляритонами и вычисление компонент магнитооптического тензора в магнитных диэлектриках (МД).

2. В рамках феноменологической теории КР на спиновых волнах (СВ) описывается следующим образом [10]. Фурье-компонента изменения вектора электрической поляризации МД $\Delta\mathcal{P}(\mathbf{k}, \omega)$, обусловленная колебаниями намагниченности $\Delta\mathcal{M}(\mathbf{k}, \omega)$, определяется выражением

$$\Delta\mathcal{P}_\alpha(\mathbf{k}, \omega) = iN^{-1/2}\mathcal{M}_0^{-1} \sum_{\mathbf{k}', \omega'} f_{\alpha\beta\gamma} E_\beta(\mathbf{k}', \omega) \Delta\mathcal{M}_\gamma(\mathbf{k} - \mathbf{k}', \omega - \omega'), \quad (1)$$

где \mathcal{M}_0 — намагниченность насыщения, $f_{\alpha\beta\gamma}$ — тензор линейной магнитооптической связи. При учете спин-фотонного взаимодействия (т. е. взаимодействия $\Delta\mathcal{M}$ с магнитным полем ЭМВ \mathbf{H}) компоненты Фурье $\Delta\mathcal{M}(\mathbf{k}, \omega)$ и $\mathbf{H}(\mathbf{k}, \omega)$ связаны тензором магнитной восприимчивости $\chi_{\alpha\beta}(\mathbf{k}, \omega)$

$$\Delta\mathcal{M}_\alpha(\mathbf{k}, \omega) = \chi_{\alpha\beta}(\mathbf{k}, \omega) H'_\beta(\mathbf{k}, \omega). \quad (2)$$

Энергия взаимодействия электрического поля ЭМВ $E(\mathbf{k}, \omega)$ с $\Delta P(\mathbf{k}, \omega)$ определяется известным выражением

$$W = -v_0 \sum_{\mathbf{k}, \omega} E^*(\mathbf{k}, \omega) \Delta P(\mathbf{k}, \omega) = \sum_{\substack{\mathbf{k}, \omega \\ \mathbf{k}', \omega'}} W_{\mathbf{k}\omega; \mathbf{k}'\omega'}, \quad (3)$$

$$W_{\mathbf{k}\omega; \mathbf{k}'\omega'} = -iv_0 N^{-1/2} \mathcal{M}_0^{-1} f_{\alpha\beta\gamma} E_{\alpha}^*(\mathbf{k}, \omega) E_{\beta}(\mathbf{k}, \omega) \chi_{\gamma\delta}(\mathbf{k} - \mathbf{k}', \omega - \omega') \times \\ \times H_{\delta}(\mathbf{k} - \mathbf{k}', \omega - \omega'), \quad (4)$$

v_0 — объем элементарной ячейки, N — число ячеек в кристалле. Процесу КР спин-фотонной модой частоты Ω с волновым вектором \mathbf{q} соответствует слагаемое $W_{\mathbf{k}_1\omega_1; \mathbf{k}_2\omega_2}$, для которого частоты ω_1, ω_2 и волновые векторы $\mathbf{k}_1, \mathbf{k}_2$ падающего и рассеянного света связаны соотношениями $\omega_1 = \omega_2 \pm \Omega$, $\mathbf{k}_1 = \mathbf{k}_2 \pm \mathbf{q}$.

При микроскопическом описании процесса КР спин-фотонными модами учтем поляритонные эффекты как в электрической, так и в магнитной подсистемах МД. При этом ограничимся рассмотрением спин-орбитального механизма рассеяния ЭМВ магнитной подсистемой МД, который вносит наиболее существенный вклад в рассматриваемый процесс (соответствующие оценки приведены в [11]). Эффекту КР спин-фотонными модами соответствует кубическая по операторам рождения и уничтожения МЭП часть гамильтониана

$$\mathcal{H}_{LS}^{\text{III}} = \frac{\lambda_{LS} v_0}{\hbar \mu_0} \sum_n \mathbf{L}_n \mathcal{M}_n,$$

где \mathbf{L}_n — оператор орбитального момента, λ_{LS} — константа спин-орбитального взаимодействия, μ_0 — магнетон Бора, n — номер узла МД. Так как в рассматриваемом процессе частоты двух МЭП $\omega_{\mathbf{k}_1\sigma_1}, \omega_{\mathbf{k}_2\sigma_2}$ лежат в оптической, а частота третьего МЭП $\omega_{\mathbf{q}\sigma_3}$ — в спин-волновой областях спектра, то в выражении для $\mathcal{H}_{LS}^{\text{III}}$ наиболее существенными слагаемыми являются следующие:

$$\mathcal{H}_{LS}^{\text{III}} = \frac{\lambda_{LS} v_0}{\hbar \mu_0 N^{1/2}} \sum_{\mathbf{k}\mu, \mathbf{k}'\mu'} \mathbf{L}_{\mathbf{k}'\mu'; \mathbf{k}\mu} B_{\mathbf{k}'\mu}^{\dagger} B_{\mathbf{k}\mu} (\mathcal{M}_0; \mathbf{k}' - \mathbf{k}, \lambda^b \mathbf{k}' - \mathbf{k}, \lambda + \mathcal{M}_{\mathbf{k} - \mathbf{k}'}; 0^b \mathbf{k} - \mathbf{k}', \lambda). \quad (5)$$

Здесь $\mathbf{L}_{\mathbf{k}\mu; \mathbf{k}'\mu'}$ и $\mathcal{M}_0; \mathbf{k}\lambda$ — матричные элементы \mathbf{L} и \mathcal{M} , вычисленные на волновых функциях магнитных экситонов и СВ соответственно; μ, λ — номера ветвей спектра.

Переходя в (5) к операторам рождения и уничтожения МЭП с помощью u - v -преобразования Боголюбова—Тябликова [8], получим

$$\mathcal{H}_{LS}^{\text{III}} = \sum_{\substack{\mathbf{k}, \mathbf{k}' \\ \sigma, \sigma', \sigma''}} \Phi_{\sigma\sigma'\sigma''}(\mathbf{k}, \mathbf{k}') \eta_{\mathbf{k}\sigma}^{\dagger} \eta_{\mathbf{k}' - \mathbf{k}, \sigma''}^{\dagger} \eta_{\mathbf{k}'\sigma'} + \text{с. с.}, \quad (6)$$

где $\Phi_{\sigma\sigma'\sigma''}(\mathbf{k}, \mathbf{k}')$ — амплитуда трехполяритонного взаимодействия

$$\Phi_{\sigma\sigma'\sigma''}(\mathbf{k}, \mathbf{k}') = \lambda_{LS} N^{-1/2} v_0 \hbar^{-1} \mu_0^{-1} \sum_{\mu\mu'} \{ (L_{\mathbf{k}\mu; \mathbf{k}'\mu'} u_{\mathbf{k}\mu\sigma}^* u_{\mathbf{k}'\mu'\sigma'} + L_{-\mathbf{k}'\mu'; -\mathbf{k}\mu} v_{\mathbf{k}\mu\sigma}^* v_{\mathbf{k}'\mu'\sigma'}) \times \\ \times (\mathcal{M}_{\mathbf{k}' - \mathbf{k}, \lambda; 0^b \mathbf{k}' - \mathbf{k}, \lambda\sigma''} + \mathcal{M}_0; \mathbf{k} - \mathbf{k}', \lambda^b \mathbf{k} - \mathbf{k}', \lambda\sigma'') + L_{\mathbf{k}' - \mathbf{k}, \mu'; -\mathbf{k}\mu} u_{\mathbf{k}' - \mathbf{k}, \mu'\sigma'} \times \\ \times (\mathcal{M}_0; \mathbf{k}' \lambda u_{\mathbf{k}'\lambda\sigma''} + \mathcal{M}_{-\mathbf{k}\lambda'; 0^b -\mathbf{k}\lambda\sigma''}) \}.$$

В (6) $\eta_{\mathbf{k}\sigma}^{\dagger} (\eta_{\mathbf{k}\sigma})$ — операторы рождения (уничтожения) МЭП с волновым вектором \mathbf{k} ветви σ . Явный вид коэффициентов $u_{\mathbf{k}\mu\sigma}, v_{\mathbf{k}\mu\sigma}$ приведен в работах [8, 11]. Наряду с (5) вклад в трехполяритонный гамильтониан дадут кубические по операторам квазичастиц слагаемые, описывающие амгармонизм в системе магнитных экситонов (B^+BB) и СВ (b^+bb), которые обусловлены диполь-дипольными взаимодействием в соответствующих подсистемах, нелинейными электро- и магнитодипольным моментами, взаимодействующими с ЭМВ (B^+Ba, b^+ba), а также другие механизмы КР на СВ (см., например, [12]). Однако связанные со всеми этими процессами до-

бавки к амплитуде $\Phi_{\sigma_1\sigma'}$ (\mathbf{k}, \mathbf{k}') малы и в настоящей работе не учитываются. Матричный элемент \mathcal{M}_s оператора \mathcal{H}_{LS}^{III} (6), описывающий стоксово КР, при котором уничтожается МЭП ветви σ_1 с волновым вектором \mathbf{k}_1 и рождаются МЭП ветвей σ_2, σ_3 с волновыми векторами $\mathbf{k}_2, \mathbf{q} = \mathbf{k}_1 - \mathbf{k}_2$ соответственно, в первом порядке теории возмущений имеет вид

$$\mathcal{M}_s = V^{-1/2} N_{\mathbf{k}_1\sigma_1}^{1/2} (N_{\mathbf{k}_2\sigma_2} + 1)^{1/2} (N_{\mathbf{q}\sigma_3} + 1)^{1/2} \{ \alpha_{\beta\gamma\delta}^{EEH} (\mathbf{e}_{\mathbf{k}_1\sigma_1}^E)^* (\mathbf{e}_{\mathbf{k}_2\sigma_2}^E)_{\gamma} (\mathbf{e}_{\mathbf{q}\sigma_3}^H)_{\delta} + \alpha_{\beta\gamma\delta}^{EHE} (\mathbf{e}_{\mathbf{k}_1\sigma_1}^E)_{\beta}^* \times \\ \times (\mathbf{e}_{\mathbf{k}_2\sigma_2}^H)_{\gamma} (\mathbf{e}_{\mathbf{q}\sigma_3}^E)_{\delta} + \alpha_{\beta\gamma\delta}^{HEE} (\mathbf{e}_{\mathbf{k}_1\sigma_1}^H)_{\beta}^* (\mathbf{e}_{\mathbf{k}_2\sigma_2}^E)_{\gamma} (\mathbf{e}_{\mathbf{q}\sigma_3}^E)_{\delta} \}, \quad (7)$$

где $N_{\mathbf{k}\sigma}$ — число заполнения состояния (\mathbf{k}, σ) МЭП; V — объем кристалла; $\mathbf{e}_{\mathbf{k}\sigma}^E, \mathbf{e}_{\mathbf{k}\sigma}^H$ — единичные векторы, по которым раскладываются поляритонные амплитуды электрической и магнитной индукции ЭМВ в кристалле [11]. Явный вид тензора рассеяния в кристалле определенной симметрии можно получить из (6), (7), используя соответствующие выражения для $u-v$ -коэффициентов [8, 11]. В случае двуосного кристалла, согласно [11], $\alpha_{\beta\gamma\delta}^{EEH}$ имеет вид

$$\alpha_{\beta\gamma\delta}^{EEH} = A (\Delta_s^{\mathbf{k}_1} \Delta_s^{\mathbf{k}_2} \Delta_s^{\mathbf{q}}) \sum_{\mu, \mu'} P_{\mathbf{k}_1\mu}^{\beta} P_{\mathbf{q}\mu'}^{\delta} P_{\mathbf{k}_2\mu'}^{\gamma} \chi_{\rho\delta}(\omega_{\mathbf{q}\sigma_3}) \mathcal{L}_{\mu\mu'}^{\rho}(\mathbf{k}_1\sigma_1, \mathbf{k}_2\sigma_2), \\ \mathcal{L}_{\mu\mu'}^{\rho}(\mathbf{k}_1\sigma_1, \mathbf{k}_2\sigma_2) = \frac{L_{\mathbf{k}_1\mu'}^{\rho}(\mathbf{k}_1\mu)}{(E_{\mathbf{k}_1\mu} - \mathcal{E}_{\mathbf{k}_1\sigma_1})(E_{\mathbf{k}_2\mu} - \mathcal{E}_{\mathbf{k}_2\sigma_2})} + \frac{L_{-\mathbf{k}_2\mu'}^{\rho}(\mathbf{k}_2\mu)}{(E_{\mathbf{k}_2\mu} + \mathcal{E}_{\mathbf{k}_1\sigma_1})(E_{\mathbf{k}_2\mu} + \mathcal{E}_{\mathbf{k}_2\sigma_2})}, \quad (8) \\ A = \lambda_{LS} \mu_0^{-1} (2\pi)^{3/2} v_0^2 [\hbar (\mathbf{v}_{\mathbf{k}_1\sigma_1}^{\mathbf{k}_1}, \mathbf{k}_1) (\mathbf{v}_{\mathbf{k}_2\sigma_2}, \mathbf{k}_2) (\mathbf{v}_{\mathbf{q}\sigma_3}^{\mathbf{q}}, \mathbf{q})]^{1/2},$$

$\mathbf{v}_{\mathbf{k}\sigma}$ — групповая скорость МЭП; $\mathcal{E}_{\mathbf{k}\sigma}$ — энергия МЭП; $\Delta_s^{\mathbf{k}}, \Delta_s^{\mu}$ — «электрический» и «магнитный» факторы, определяемые компонентами тензоров диэлектрической и магнитной проницаемостей $\epsilon_{\alpha\beta}$ и $\mu_{\alpha\beta}$. Тензор $\chi_{\alpha\beta}$ на частоте $\omega_{\mathbf{q}\sigma_3}$ определен в рамках теории МЭП и имеет стандартный вид [8]; $P_{\mathbf{k}\mu}$ — матричные элементы оператора электродипольного момента; $E_{\mathbf{k}\mu}, \mathcal{E}_{\mathbf{k}\lambda}$ — энергии магнитных экситонов и СВ. Тензоры $\alpha_{\beta\gamma\delta}^{EHE}, \alpha_{\beta\gamma\delta}^{HEE}$ имеют аналогичный вид (см. формулы (П.1), (П.2) Приложения). Из оценок, приведенных в Приложении (см. П. 4)), следует, что основной вклад в рассматриваемый эффект обусловлен тензором $\alpha_{\beta\gamma\delta}^{EEH}$, который и будет учитываться в дальнейшем.

Входящие в тензор КР (8) множитель $\mathcal{L}_{\mu\mu'}^{\rho}$ и тензор высокочастотной магнитной восприимчивости $\chi_{\alpha\beta}$ имеют резонансные знаменатели, которые наиболее существенны при энергиях МЭП, близких к энергиям магнитного экситона и СВ соответственно. Поэтому приближение частот МЭП при КР к частотам соответствующих возбуждений приводит к резонансному возрастанию значений компонент тензора КР. Наиболее интересной представляется ситуация, когда выполняются резонансные условия двух типов: если частоты падающего и рассеянного излучения вблизи экситонных полос поглощения, а рожденный или уничтоженный в элементарном акте рассеяния магнотон попадает в область спин-фотонного расщепления, то при этом будет наблюдаться существенное увеличение интенсивности регистрируемого излучения. Качественная зависимость $|\alpha_{\beta\gamma\delta}^{EEH}|^2$ — величины, определяющей интенсивность КР в зависимости от частот МЭП, участвующих в элементарном акте процесса, приведена на рисунке. Отметим также, что в тензоре КР спин-фотонными модами отсутствуют расходимости, присущие теории рассеяния света, не учитывающей поляритонные эффекты при описании ЭМВ в кристаллах. Учет МЭ-фотонного и СВ-фотонного взаимодействий приводит к тому, что нормальные ЭМВ и МД с энергиями $\mathcal{E}_{\mathbf{k}\sigma} = E_{\mathbf{k}\mu}$ и $\mathcal{E}_{\mathbf{k}\sigma} = \mathcal{E}_{\mathbf{k}\lambda}$ существовать не могут; так, в спектре МЭП возникают «бутылочные горлышки» двух типов (экситонные и магнотонные), ширина которых и определяется формулами [2]

$$\Delta\omega_{\text{МЭ-фот}}^2 \simeq 2\omega_{\mu}\omega_p, \quad \Delta\omega_{\text{СВ-фот}}^2 \simeq 2\omega_{\lambda}\omega_0,$$

где ω_p — плазменная частота; $\omega_{\mu}, \omega_{\lambda}$ — частоты, соответствующие МЭ и СВ; ω_0 — частота антиферромагнитного резонанса.

3. При сопоставлении феноменологического и микроскопического описания КР света спин-фотонными модами величине $W_{k_1\omega_1; k_2\omega_2}$ (4) соответствует матричный элемент M_s (7) оператора \mathcal{H}_{LS}^{III} . Запишем основное слагаемое в (7) в виде

$$\mathcal{M}_s = N^{-1/2} \lambda_{LS}^{-1} \mu_0^{-1} v_0^2 \chi_{sp}(\omega_{q\sigma_2}) (E_{k_1\sigma_1})_{\beta}^* (E_{k_2\sigma_2})_{\gamma} (H_{q\sigma_2})_{\delta} \sum_{\mu, \mu'} P_{k_1\mu; 0}^{\beta} P_{0; k_2\mu'}^{\gamma} \mathcal{E}_{\mu\mu'}^{\rho} (k_1\sigma_1, k_2\sigma_2), \quad (9)$$

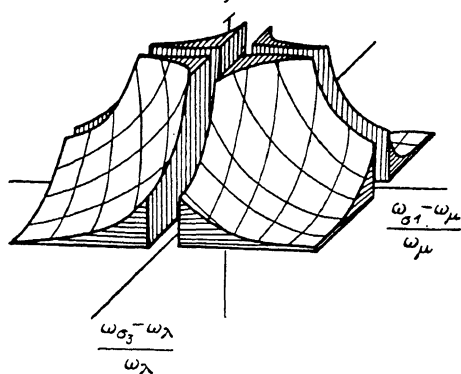
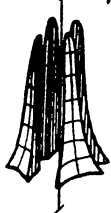
где поляритонные амплитуды электрического E и магнитного H полей ЭМВ определяются выражениями

$$E_{k\sigma} \gamma_{k\sigma} |N_{k\sigma}\rangle = e_{k\sigma}^E \left[\frac{2\pi\hbar (v_{k\sigma}, \mathbf{k}) \Delta_{\sigma}^k}{v_0} \right]^{1/2} N_{k\sigma}^{1/2} |N_{k\sigma} - 1\rangle,$$

$$H_{k\sigma} \gamma_{k\sigma} |N_{k\sigma}\rangle = e_{k\sigma}^H \left[\frac{2\pi\hbar (v_{k\sigma}, \mathbf{k}) \Delta_{\mu}^k}{v_0} \right]^{1/2} N_{k\sigma}^{1/2} |N_{k\sigma} - 1\rangle.$$

Здесь $|N_{k\sigma}\rangle$ — волновая функция гамильтониана невзаимодействующих МЭП. Сопоставляя (4) с (9), получим, что линейный магнитооптический тензор, выраженный через характеристики МЭП и МД, имеет вид

$$\left| \alpha_{\beta\gamma\delta}^{EEH} e_{\beta}^E e_{\gamma}^E e_{\delta}^H \right|^2$$



$$f_{\beta\gamma\delta}^{MЭП} = i m_0 \lambda_{LS}^2 v_0^{-1} \sum_{\mu, \mu'} P_{k_1\mu; 0}^{\beta} P_{0; k_2\mu'}^{\gamma} \times \mathcal{E}_{\mu\mu'}^{\rho} (k_1\sigma_1, k_2\sigma_2), \quad (10)$$

где $m_0 = \mathcal{M}_0 v_0 \mu_0^{-1}$.

Оценим интервал углов рассеяния θ , при которых возможно наблюдение поляритонных эффектов в магнитной подсистеме МД с помощью КР. Из закона сохранения волновых векторов квазичастиц, участвующих в элементарном акте процесса, следует, что

$$\theta = \arcsin (q/2k_1). \quad (11)$$

Численные значения q , соответствующие полосе спин-фотонных мод, определим из данных экспериментов по прохождению электромагнитного излучения через кристаллы FeF_2 [3]: $0.5 \cdot 10^3 \text{ см}^{-1} \leq q \leq 2 \cdot 10^3 \text{ см}^{-1}$. Характерные величины k_1 в видимой ($k_1 = 1.22 \cdot 10^5 \text{ см}^{-1}$) и ближней инфракрасной ($k_1 = 5.46 \cdot 10^4 \text{ см}^{-1}$) областях спектра ЭМВ соответствуют длинам волн аргонового ($\lambda_{\text{Ar}} = 0.5145 \text{ мкм}$) и гелий-неонового ($\lambda_{\text{He-Ne}} = 1.15 \text{ мкм}$) лазеров соответственно. При указанных значениях q и k_1 из (11) получим

$$0.3^\circ \leq \theta \leq 1^\circ, \lambda_{\text{Ar}} = 0.5145 \text{ мкм}; 0.5^\circ \leq \theta \leq 2^\circ, \lambda_{\text{He-Ne}} = 1.15 \text{ мкм}. \quad (12)$$

Из проведенных оценок (12) следует, что спин-фотонное расщепление в спектре нормальных ЭМВ антиферромагнетика FeF_2 может наблюдаться в разумном для экспериментальных исследований интервале углов рассеяния.

Найдем световой поток, рассеянный в единичный телесный угол вблизи направления \mathbf{s}_2 и характеризующий КР на спин-фотонных модах МД, в рамках теории МЭП. Аналогичные вычисления для КР на поляритонах

в немагнитных диэлектриках изложены, например, в [1, 13]. Используя эти результаты, получим

$$P_{\text{МЭП}}(s_2) = \frac{2\pi V \omega_{k_2 \sigma_2} \mathcal{J}_{k_1 \sigma_1} n_{\sigma_2}^2(k_2) |a_{\beta\gamma\delta}^{EEH} (\mathbf{e}_{k_1 \sigma_1})_{\beta}^* (\mathbf{e}_{k_2 \sigma_2})_{\gamma} (\mathbf{e}_{q \sigma_2})_{\delta}|^2}{\omega_{k_1 \sigma_1} c^2 \hbar^2 v_{k_1 \sigma_1}^{\varepsilon_1} (v_{k_2 \sigma_2}^{\varepsilon_2} - v_{q \sigma_2}^{\varepsilon_2} \cos \Psi)}, \quad (13)$$

$$\mathcal{J}_{k_1 \sigma_1} = \frac{N_{k_1 \sigma_1} v_{k_1 \sigma_1}}{V} \hbar \omega_{k_1 \sigma_1}$$

— интенсивность падающего излучения,

$$\cos \Psi = k_1^{-1} [k_2 - q \cos(k_1, q)], \quad v^s = vs/|v|, \quad s = \mathbf{k} | \mathbf{k} |^{-1}.$$

Если пренебречь эффектами спин-фотонного взаимодействия (эта ситуация возможна, когда частота спинового возбуждения $\omega_{q\sigma}$ лежит вне области спин-фотонного расщепления), то коэффициенты $u-v$ -преобразования, описывающие переход от СВ к МЭП, примут вид $u_{k\lambda\sigma} = \delta_{\omega_{k\lambda}, \omega_{k\sigma}}$, $v_{k\sigma\lambda} = 0$. В этом случае в тензоре КР света на СВ $\alpha_{\beta\gamma}^{(CB)}$ будут некоторые отличия от выражения (8), а именно: $\Delta_{\mu}^q = 1$, вместо тензора высокочастотной магнитной восприимчивости $\chi_{\alpha\beta}$ (имеющего резонансные знаменатели на частотах спиновых возбуждений) в $\alpha_{\beta\gamma}^{(CB)}$ входит матричный элемент $\mathcal{M}_{0; q\lambda}$. Поэтому в выражении для $\alpha_{\beta\gamma}^{(CB)}$ не возникает резонансная зависимость от частоты вблизи пересечения дисперсионных кривых СВ и фотонов. Световой поток, соответствующий КР на СВ без учета спин-фотонного взаимодействия $P_{\text{СВ}}$, вычисляется аналогично формуле (13) и имеет вид, подобный $P_{\text{МЭП}}$ (13). Различия выражений для $P_{\text{МЭП}}$ и $P_{\text{СВ}}$ следующие: 1) в $P_{\text{СВ}}$ входит тензор КР $\alpha_{\beta\gamma}^{(CB)}$ вместо тензора $\alpha_{\beta\gamma\delta}^{EEH}$ в $P_{\text{МЭП}}$; 2) групповая скорость спин-фотонной моды $v_{q\sigma}$ заменяется групповой скоростью СВ $v_{q\lambda}$, которая при пренебрежении ПД равна нулю; 3) частоты, групповые скорости, показатель преломления, векторы поляризации и интенсивность падающего излучения характеризуют экситонные поляритоны.

Подобно тому, как в [1, 13] учитывались эффекты фонон-фотонного взаимодействия в КР, из (13) найдем поляритонный фактор $\Pi_{\text{СВ}}^{\text{МЭП}}$, характеризующий отличие $P_{\text{МЭП}}$ и $P_{\text{СВ}}$

$$\Pi_{\text{СВ}}^{\text{МЭП}} = \frac{P_{\text{МЭП}}}{P_{\text{СВ}}} = \frac{1}{2} (v_{q\sigma_2}, \mathbf{q}) \Delta_{\mu}^q \left. \frac{\partial^{\mu\alpha\beta}}{\partial \omega} \right|_{\omega=\omega_{q\sigma_2}} (\mathbf{e}_{q\sigma_2})_{\alpha} (\mathbf{e}_{q\sigma_2})_{\beta}^*. \quad (14)$$

Величина $\Pi_{\text{СВ}}^{\text{МЭП}}$ учитывает проявление эффектов смешивания СВ и фотонов в спектре КР. Из (14) видно, что учет спин-фотонного взаимодействия наиболее существен в области сильной частотной дисперсии $\mu_{\alpha\beta}$ (т. е. при малом угле КР (см., например, [6])). При $\omega_{q\sigma_2} \rightarrow \omega_{q\lambda}$ $\Pi_{\text{СВ}}^{\text{МЭП}} \rightarrow 1$ и, как следует из (14), $P_{\text{МЭП}} = P_{\text{СВ}}$.

Авторы признательны М. И. Каганову и Ю. Н. Поливанову за обсуждение работы и ряд полезных замечаний.

ПРИЛОЖЕНИЕ

Выражение для тензоров рассеяния $\alpha_{\beta\gamma\delta}^{EHE}$ и $\alpha_{\beta\gamma\delta}^{HEE}$ в (7) имеют вид

$$\alpha_{\beta\gamma\delta}^{EHE} = A (\Delta_{\varepsilon}^{k_1} \Delta_{\mu}^{k_2} \Delta_{\varepsilon}^q)^{1/2} \chi_{\rho\delta}^{\sigma_2}(k_2) \sum_{\mu\mu'} P_{k_1\mu; 0\rho_0; q\mu}^{\beta} \mathcal{L}_{\mu\mu'}^{\rho} (k_1\sigma_1, q\sigma_2), \quad (\text{П. 1})$$

$$\alpha_{\beta\gamma\delta}^{HEE} = A (\Delta_{\mu}^{k_1} \Delta_{\varepsilon}^{k_2} \Delta_{\varepsilon}^q)^{1/2} \chi_{\rho\delta}^{\sigma_1}(k_1) \sum_{\mu\mu'} P_{0; -k_2\mu; \rho_0; q\mu}^{\beta} \mathcal{L}_{\mu\mu'}^{\rho} (q\sigma_2, -k_2\sigma_2). \quad (\text{П. 2})$$

Оценим относительный вклад каждого из тензоров $\alpha_{\beta\gamma\delta}^{EHE}$, $\alpha_{\beta\gamma\delta}^{HEE}$, $\alpha_{\beta\gamma\delta}^{HEE}$ и матричный элемент \mathcal{M}_{ρ} (7). Из (8), (П. 1), (П. 2) для соответствующих компонент получаются следующие соотношения:

$$\left| \frac{\alpha_{\beta\gamma\delta}^{EHE}}{\alpha_{\beta\gamma\delta}^{EEH}} \right| \sim \left| \frac{(E_{k_2\mu'} - \varepsilon_{k_2\sigma_2})(\varepsilon_{q\lambda} - \varepsilon_{q\sigma_2})}{(E_{q\mu'} - \varepsilon_{q\sigma_2})(\varepsilon_{k_2\lambda} - \varepsilon_{k_2\sigma_2})} \right|, \quad (II.3)$$

$$\left| \frac{\alpha_{\beta\gamma\delta}^{HEE}}{\alpha_{\beta\gamma\delta}^{EEH}} \right| \sim \left| \frac{(E_{k_1\mu} - \varepsilon_{k_1\sigma_1})(\varepsilon_{q\lambda} - \varepsilon_{q\sigma_2})}{(E_{q\mu} - \varepsilon_{q\sigma_2})(\varepsilon_{k_1\lambda} - \varepsilon_{k_1\sigma_1})} \right|.$$

Энергии МЭП $\varepsilon_{k_1\sigma_1}$ и $\varepsilon_{k_2\sigma_2}$ лежат в области МЭ-фотонного ($\varepsilon_{k_1\sigma_1} \sim \varepsilon_{k_2\sigma_2} \sim 10^5$ см⁻¹), а $\varepsilon_{q\lambda}$ — в области СВ-фотонного взаимодействий ($\varepsilon_{q\lambda} \sim 10^2$ см⁻¹). Величины поляритонных расщеплений $|E_{k_1\mu} - \varepsilon_{k_1\sigma_1}| \sim |E_{k_2\mu'} - \varepsilon_{k_2\sigma_2}| \sim 0.1E_{k_1\mu}$, $|\varepsilon_{q\lambda} - \varepsilon_{q\sigma_2}| \sim 10^{-2}\varepsilon_{q\lambda}$. При этих условиях из (II.3) получим

$$\left| \frac{\alpha_{\beta\gamma\delta}^{EHE}}{\alpha_{\beta\gamma\delta}^{EEH}} \right| \sim \left| \frac{\alpha_{\beta\gamma\delta}^{HEE}}{\alpha_{\beta\gamma\delta}^{EEH}} \right| \sim 10^{-6}.$$

Следовательно, основной вклад в \mathcal{M}_s будет определяться первым слагаемым в (7), обусловленным $\alpha_{\beta\gamma\delta}^{EEH}$.

Л и т е р а т у р а

- [1] Поливанов Ю. Н. // УФН. 1978. Т. 126. № 2. С. 185—232.
- [2] Mills D., Burstein E. // Rep. Prog. Phys. 1974. V. 37. N 3. P. 817—923.
- [3] Sanders R., Jaccorino V., Rezende S. // Sol. St. Comm. 1978. V. 28. N 11. P. 907—910.
- [4] Grieb T., Kullmann W., Fehr P. et al. // J. Phys. C. 1984. V. 17. N 36. P. 6843—6854.
- [5] Sormento E., Tilley D. // J. Phys. C. 1976. V. 9. N 15. P. 2943—2954.
- [6] Sormento E., Tilley D. // J. Phys. C. 1977. V. 10. N 6. P. 795—808.
- [7] Barnas J., Kowalewski L. // J. Phys. C. 1984. V. 17. N 11. P. 1973—1985.
- [8] Борисов С. Б., Любчанский И. Л. // ФТТ. 1984. Т. 26. № 11. С. 3245—3249.
- [9] Борисов С. Б., Любчанский И. Л. // ФТТ. 1985. Т. 27. № 7. С. 2229—2231.
- [10] Смоленский Г. А., Леманов В. В. Ферриты и их техническое применение. Л., 1975. 219 с.
- [11] Борисов С. Б., Любчанский И. Л. // Опт. и спектр. 1986. Т. 61. № 6. С. 1274—1278.
- [12] Еременко В. В. Введение в оптическую спектроскопию магнетиков. Киев, 1975. 472 с.
- [13] Обуховский В. В., Стрижевский В. Л. // ЖЭТФ. 1970. Т. 58. № 3. С. 929—936.

Донецкий физико-технический институт
АН УССР
Донецк

Поступило в Редакцию
3 мая 1988 г.